



Средний прямой ток	I_{TAV}		320 А				
Повторяющееся импульсное напряжение в закрытом состоянии	U_{DRM}		600 - 1200 В				
Повторяющееся импульсное обратное напряжение	U_{RRM}						
Время выключения	t_q		160 мкс				
$U_{DRM}, U_{RRM}, В$	600	700	800	900	1000	1100	1200
Класс по напряжению	6	7	8	9	10	11	12
$T_j, ^\circ C$	-60 ÷ 140						

ПРЕДЕЛЬНО ДОПУСТИМЫЕ ЗНАЧЕНИЯ ПАРАМЕТРОВ

Обозначение и наименование параметра		Ед. изм.	Значение	Условия измерения	
Параметры в проводящем состоянии					
I_{TAV}	Средний ток в открытом состоянии	А	320	$T_c = 97^\circ C$; 180 эл. град. синус; 50 Гц	
I_{TRMS}	Действующий ток в открытом состоянии	А	502	$T_c = 97^\circ C$; 180 эл. град. синус; 50 Гц	
I_{TSM}	Ударный ток в открытом состоянии	кА	9.0 10.5	$T_j = T_{j\max}$ $T_j = 25^\circ C$	180 эл. град. синус; $t_p = 10$ мс; единичный импульс; $U_D = U_R = 0$ В; Импульс управления: $I_G = 2$ А; $t_{GP} = 50$ мкс; $di_G/dt \geq 1$ А/мкс
			9.5 11.0	$T_j = T_{j\max}$ $T_j = 25^\circ C$	180 эл. град. синус; $t_p = 8.3$ мс; единичный импульс; $U_D = U_R = 0$ В; Импульс управления: $I_G = 2$ А; $t_{GP} = 50$ мкс; $di_G/dt \geq 1$ А/мкс
I^2t	Защитный фактор	$A^2c \cdot 10^3$	400 550	$T_j = T_{j\max}$ $T_j = 25^\circ C$	180 эл. град. синус; $t_p = 10$ мс; единичный импульс; $U_D = U_R = 0$ В; Импульс управления: $I_G = 2$ А; $t_{GP} = 50$ мкс; $di_G/dt \geq 1$ А/мкс
			370 500	$T_j = T_{j\max}$ $T_j = 25^\circ C$	180 эл. град. синус; $t_p = 8.3$ мс; единичный импульс; $U_D = U_R = 0$ В; Импульс управления: $I_G = 2$ А; $t_{GP} = 50$ мкс; $di_G/dt \geq 1$ А/мкс

Блокирующие параметры				
U_{DRM}, U_{RRM}	Повторяющееся импульсное обратное напряжение и повторяющееся импульсное напряжение в закрытом состоянии	В	600÷1200	$T_{j\min} < T_j < T_{j\max}$; 180 эл. град. синус; 50 Гц; управление разомкнуто
U_{DSM}, U_{RSM}	Неповторяющееся импульсное обратное напряжение и неповторяющееся импульсное напряжение в закрытом состоянии	В	700÷1300	$T_{j\min} < T_j < T_{j\max}$; 180 эл. град. синус; единичный импульс; управление разомкнуто
$U_{(BR)}$	Пробивное обратное напряжение	В	850÷1700	$T_{j\min} < T_j < T_{j\max}$; $I_{RRM} = 100$ мА; 180 эл. град. синус; единичный импульс; управление разомкнуто
U_D, U_R	Постоянное обратное и постоянное прямое напряжение	В	$0.6 \cdot U_{DRM}$ $0.6 \cdot U_{RRM}$	$T_j = T_{j\max}$; управление разомкнуто
P_{RSM}	Ударная обратная рассеиваемая мощность	кВт	16	$T_j = T_{j\max}$; $t_p = 100$ мкс; 180 эл. град. синус; единичный импульс
Параметры управления				
I_{FGM}	Максимальный прямой ток управления	А	6	$T_j = T_{j\max}$
U_{RGM}	Максимальное обратное напряжение управления	В	5	
P_G	Максимальная рассеиваемая мощность по управлению	Вт	3	$T_j = T_{j\max}$ для постоянного тока управления
Параметры переключения				
$(di_T/dt)_{crit}$	Критическая скорость нарастания тока в открытом состоянии ($f=1$ Hz)	А/мкс	800	$T_j = T_{j\max}$; $U_D = 0.67 \cdot U_{DRM}$; $I_{TM} = 3000$ А; Импульс управления: $I_G = 2$ А; $t_{GP} = 50$ мкс; $di_G/dt \geq 2$ А/мкс
Тепловые параметры				
T_{stg}	Температура хранения	°С	-60÷50	
T_j	Температура р-п перехода	°С	-60÷140	
Механические параметры				
M	Крутящий момент затяжки	Нм	25÷35	
a	Ускорение	м/с ²	100	

ХАРАКТЕРИСТИКИ

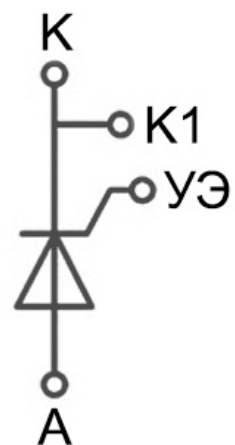
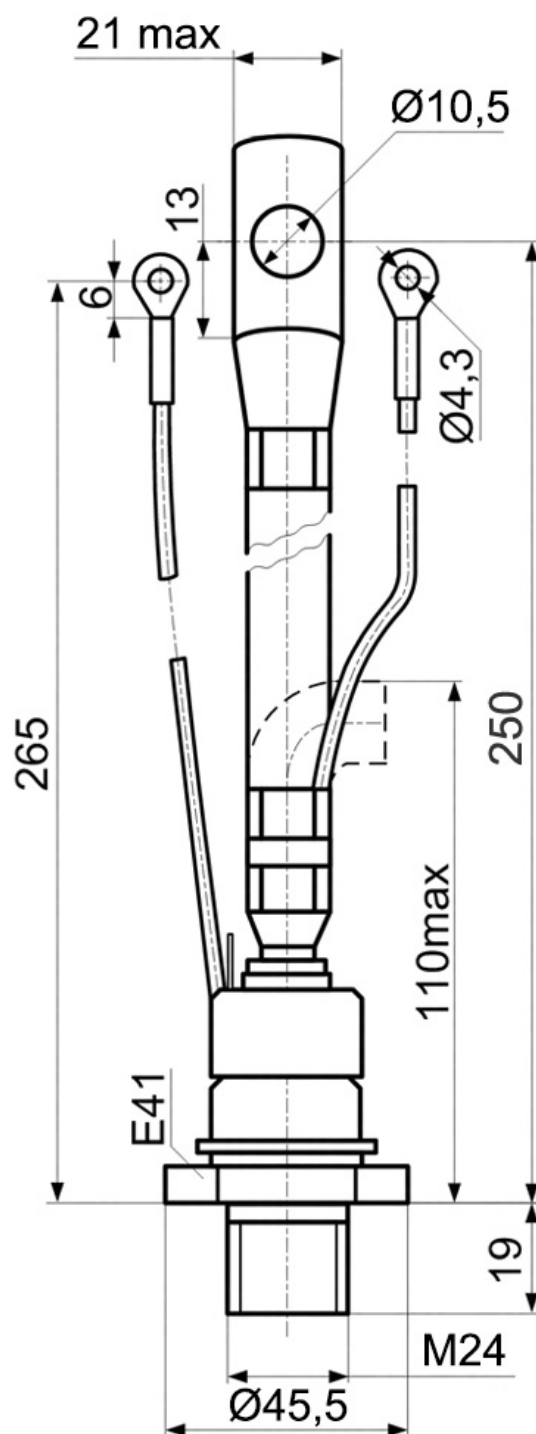
Обозначение и наименование характеристики	Ед. изм.	Значение	Условия измерения	
Характеристики в проводящем состоянии				
U_{TM}	Импульсное напряжение в открытом состоянии, макс	В	1.65	$T_j = 25$ °С; $I_{TM} = 1005$ А
$U_{T(ТО)}$	Пороговое напряжение, макс	В	1.012	$T_j = T_{j\max}$; $0.5 I_{TAV} < I_T < 1.5 I_{TAV}$
r_T	Динамическое сопротивление в открытом состоянии, макс	МОм	0.717	
I_L	Ток включения, макс	мА	700	$T_j = 25$ °С; $U_D = 12$ В; Импульс управления: $I_G = 2$ А; $t_{GP} = 50$ мкс; $di_G/dt \geq 1$ А/мкс
I_H	Ток удержания, макс	мА	300	$T_j = 25$ °С; $U_D = 12$ В; управление разомкнуто
Блокирующие характеристики				
I_{DRM}, I_{RRM}	Повторяющийся импульсный обратный ток и повторяющийся импульсный ток в закрытом состоянии, макс	мА	35	$T_j = T_{j\max}$; $U_D = U_{DRM}$; $U_R = U_{RRM}$
$(du_D/dt)_{crit}$	Критическая скорость нарастания напряжения в закрытом состоянии ¹⁾ , мин	В/мкс	320 500 1000	$T_j = T_{j\max}$; $U_D = 0.67 \cdot U_{DRM}$; управление разомкнуто

Характеристики управления				
U_{GT}	Отпирающее постоянное напряжение управления, макс	В	3.00 2.50 1.50	$T_j = T_{j \min}$ $T_j = 25 \text{ }^\circ\text{C}$ $T_j = T_{j \max}$
I_{GT}	Отпирающий постоянный ток управления, макс	мА	400 250 150	$T_j = T_{j \min}$ $T_j = 25 \text{ }^\circ\text{C}$ $T_j = T_{j \max}$
U_{GD}	Неотпирающее постоянное напряжение управления, мин	В	0.60	$T_j = T_{j \max}$; $U_D = 0.67 \cdot U_{DRM}$;
I_{GD}	Неотпирающий постоянный ток управления, мин	мА	30.00	Постоянный ток управления
Динамические характеристики				
t_{gd}	Время задержки включения, макс	мкс	1.25	$T_j = 25 \text{ }^\circ\text{C}$; $U_D = 600 \text{ В}$; $I_{TM} = I_{TAV}$; $di/dt = 200 \text{ А/мкс}$;
t_{gt}	Время включения, макс	мкс	4.00	Импульс управления: $I_G = 2 \text{ А}$; $U_G = 20 \text{ В}$; $t_{GP} = 50 \text{ мкс}$; $di_G/dt = 2 \text{ А/мкс}$
t_q	Время выключения ²⁾ , макс	мкс	160	$du_D/dt = 50 \text{ В/мкс}$; $T_j = T_{j \max}$; $I_{TM} = I_{TAV}$; $di_R/dt = -10 \text{ А/мкс}$; $U_R = 100 \text{ В}$; $U_D = 0.67 \cdot U_{DRM}$;
Q_{rr}	Заряд обратного восстановления, макс	мкКл	490	$T_j = T_{j \max}$; $I_{TM} = 320 \text{ А}$; $di_R/dt = -10 \text{ А/мкс}$; $U_R = 100 \text{ В}$
t_{rr}	Время обратного восстановления, макс	мкс	13.0	
I_{rrM}	Ток обратного восстановления, макс	А	75.0	
Тепловые характеристики				
R_{thjc}	Тепловое сопротивление р-п переход-корпус, макс	$^\circ\text{C/Вт}$	0.0850	Постоянный ток
Механические характеристики				
w	Масса, макс	г	440	
D_s	Длина пути тока утечки по поверхности	мм (дюйм)	12.4 (4.882)	
D_a	Длина пути тока утечки по воздуху	мм (дюйм)	12.4 (4.882)	

МАРКИРОВКА							ПРИМЕЧАНИЕ														
ТЛ	271	320	12	A2	T2	УХЛ2	1) Критическая скорость нарастания напряжения в закрытом состоянии														
1	2	3	4	5	6	7															
1. Низкочастотный тиристор 2. Конструктивное исполнение 3. Средний ток в открытом состоянии, А 4. Класс по напряжению 5. Критическая скорость нарастания напряжения в закрытом состоянии, В/мкс 6. Группа по времени выключения ($dv_D/dt = 50 \text{ В/мкс}$) 7. Климатическое исполнение: УХЛ2, Т2							<table border="1"> <thead> <tr> <th>Обозначение группы</th> <th>К2</th> <th>Е2</th> <th>А2</th> </tr> </thead> <tbody> <tr> <td>$(dv_D/dt)_{crit}, \text{ В/мкс}$</td> <td>320</td> <td>500</td> <td>1000</td> </tr> </tbody> </table>			Обозначение группы	К2	Е2	А2	$(dv_D/dt)_{crit}, \text{ В/мкс}$	320	500	1000	2) Время выключения ($dv_D/dt = 50 \text{ В/мкс}$)			
							Обозначение группы	К2	Е2	А2											
$(dv_D/dt)_{crit}, \text{ В/мкс}$	320	500	1000																		
							<table border="1"> <thead> <tr> <th>Обозначение группы</th> <th colspan="3">Т2</th> </tr> </thead> <tbody> <tr> <td>$t_q, \text{ мкс}$</td> <td colspan="3">160</td> </tr> </tbody> </table>			Обозначение группы	Т2			$t_q, \text{ мкс}$	160						
							Обозначение группы	Т2													
$t_q, \text{ мкс}$	160																				

ГАБАРИТНЫЕ РАЗМЕРЫ

Тип корпуса: ST7, T.SB1



- К – катод;
- А – анод;
- К1 – вспомогательный катод;
- УЭ – управляющий электрод;

Все размеры в миллиметрах

Тип Резьбы	W	H
Метрическая резьба Тип С	M24x1,5 – 8g	19
Метрическая резьба Тип В (по требованию)	M20x1,5 – 8g	15

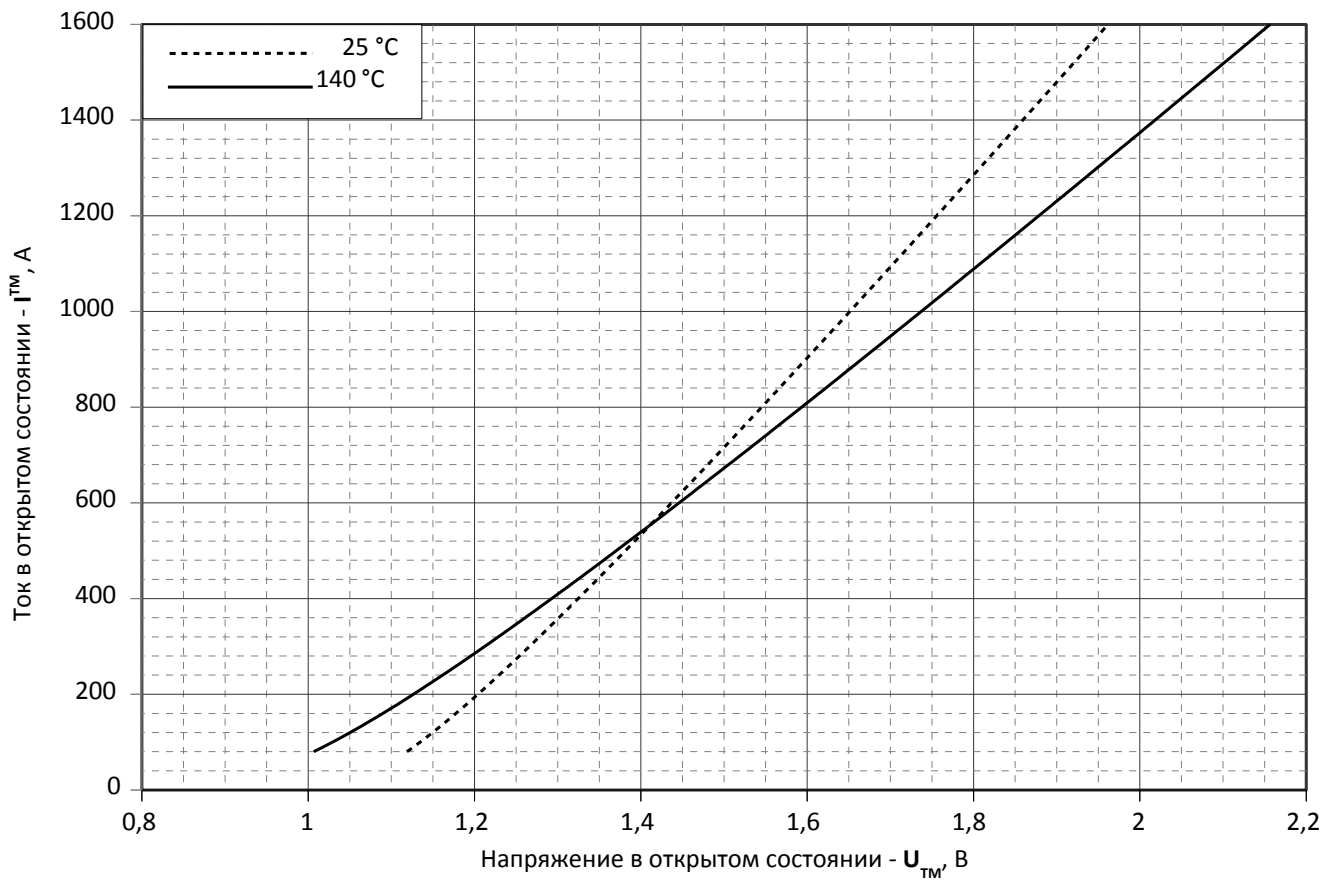


Рис. 1 – Предельная вольт – амперная характеристика

Аналитическая функция предельной вольт — амперной характеристики:

$$V_T = A + B \cdot i_T + C \cdot \ln(i_T + 1) + D \cdot \sqrt{i_T}$$

	Коэффициенты для графика	
	T _j = 25°C	T _j = T _{j max}
A	0.98158000	0.80402000
B	0.00046847	0.00062301
C	0.01752800	0.02673300
D	0.00253380	0.00396620

Модель предельной вольт – амперной характеристики (см. Рис. 1)

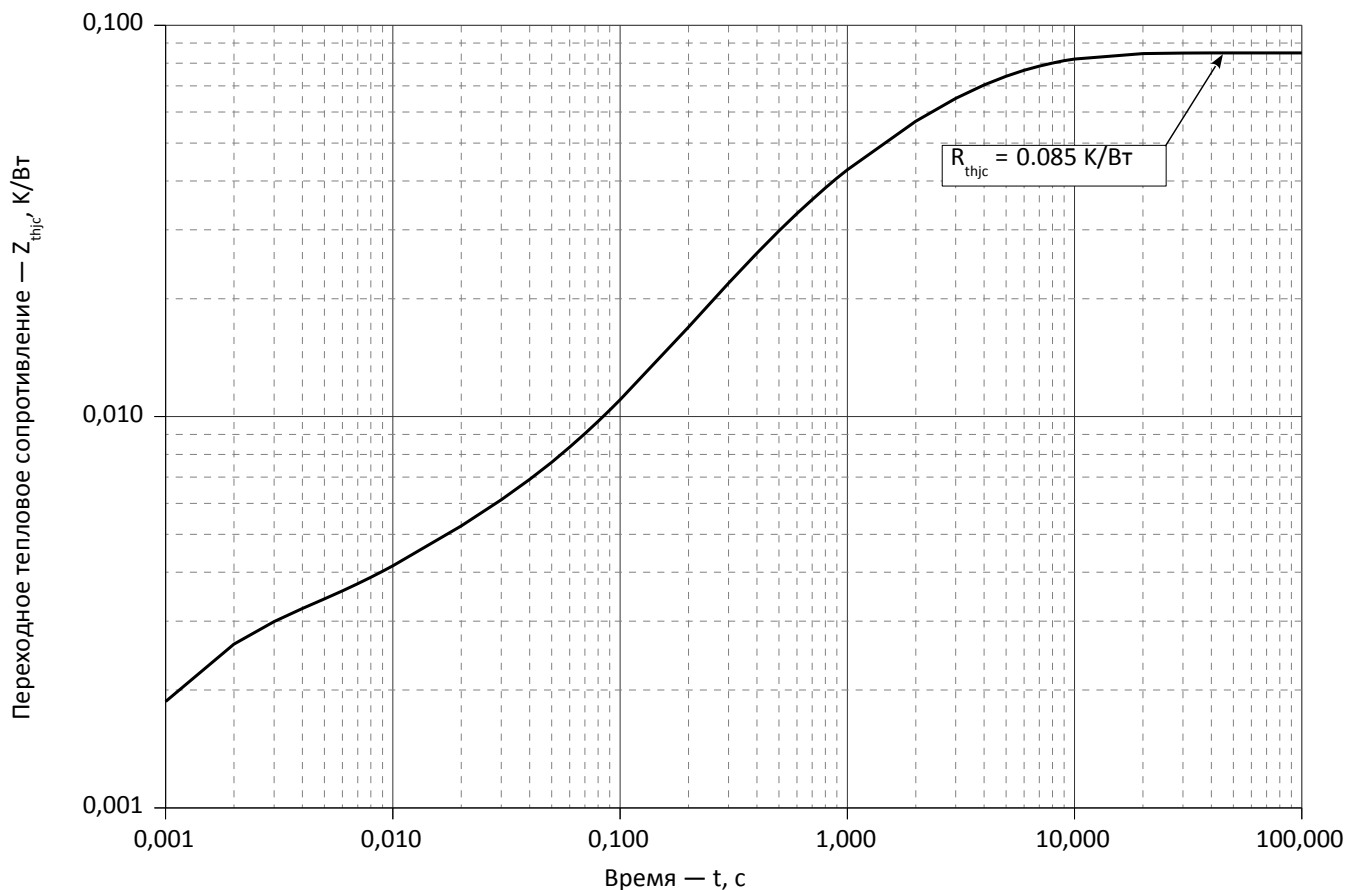


Рис. 2 – Зависимость переходного теплового сопротивления Z_{thjc} от времени t

Аналитическая зависимость переходного теплового сопротивления переход — корпус:

$$Z_{thjc} = \sum_{i=1}^n R_i \left(1 - e^{-\frac{t}{\tau_i}} \right)$$

Где $i = 1$ to n , n – число суммирующихся элементов.

t = продолжительность импульсного нагрева в секундах. Z_{thjc} =

Тепловое сопротивление за время t .

R_i, τ_i = расчетные коэффициенты, приведенные в таблице.

Постоянный ток

i	1	2	3	4	5	6
$R_i, \text{K/W}$	0.023357	0.02733	0.01495	0.001445	0.002488	0.01543
τ_i, c	4.627	2.249	0.3406	0.01043	0.0009112	0.9081

Модель переходного теплового сопротивления переход - корпус (см. Рис. 2)

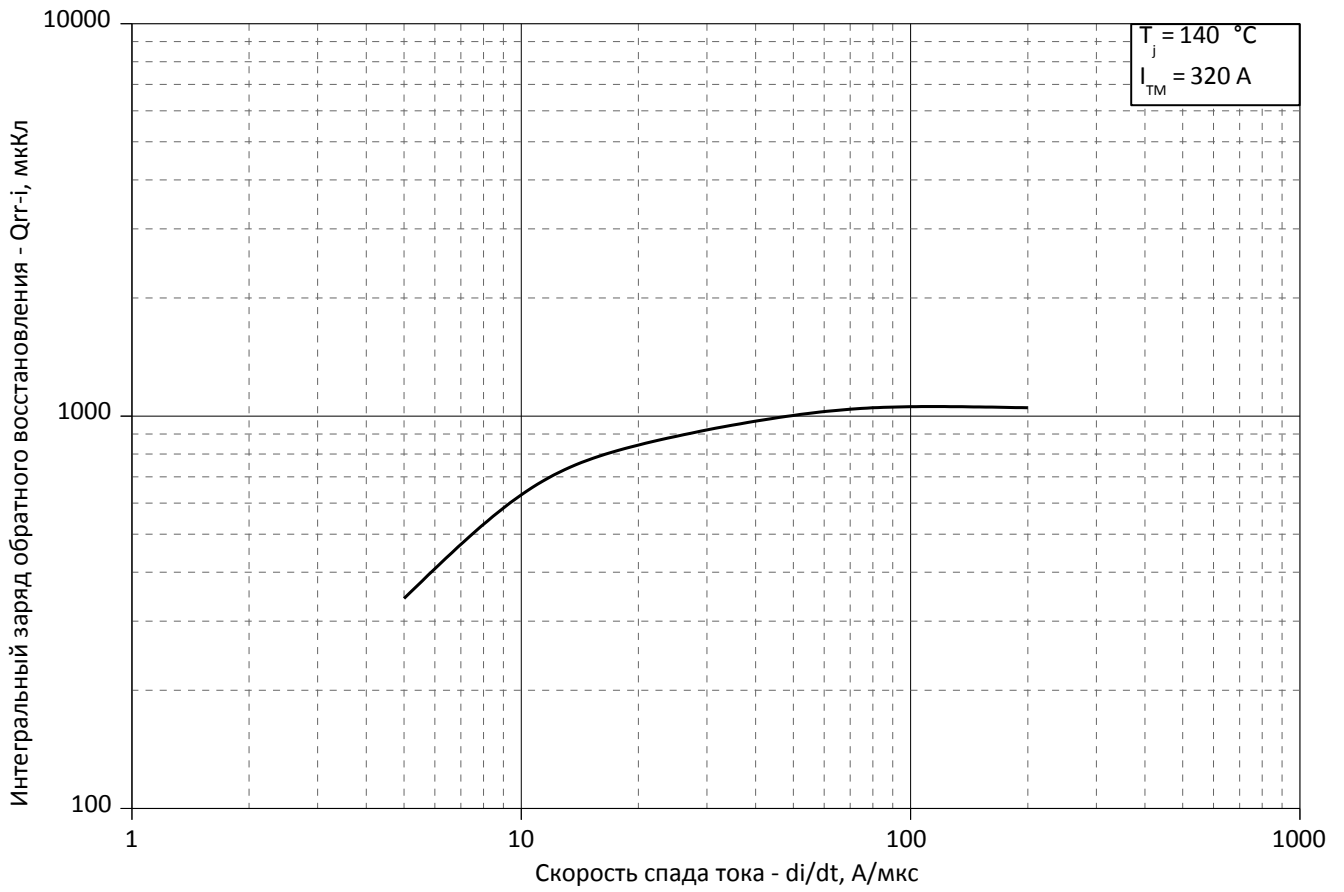


Рис. 3 – Зависимость максимального интегрального заряда обратного восстановления Q_{rr-i} от скорости спада тока di_r/dt в открытом состоянии

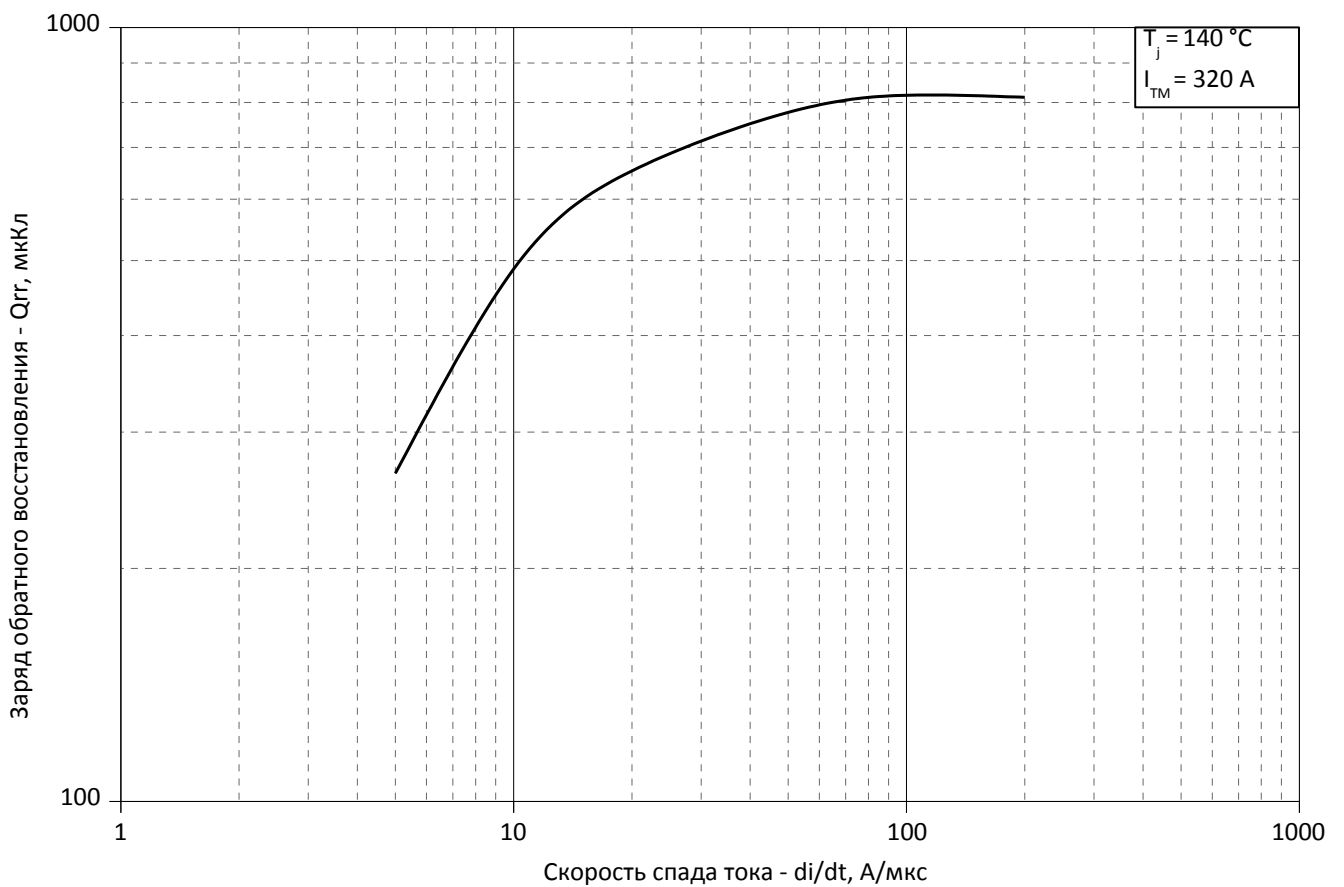


Рис. 4 – Зависимость максимального заряда обратного восстановления Q_{rr} от скорости спада тока di_r/dt (по ГОСТ 24461, хорда 25%) в открытом состоянии

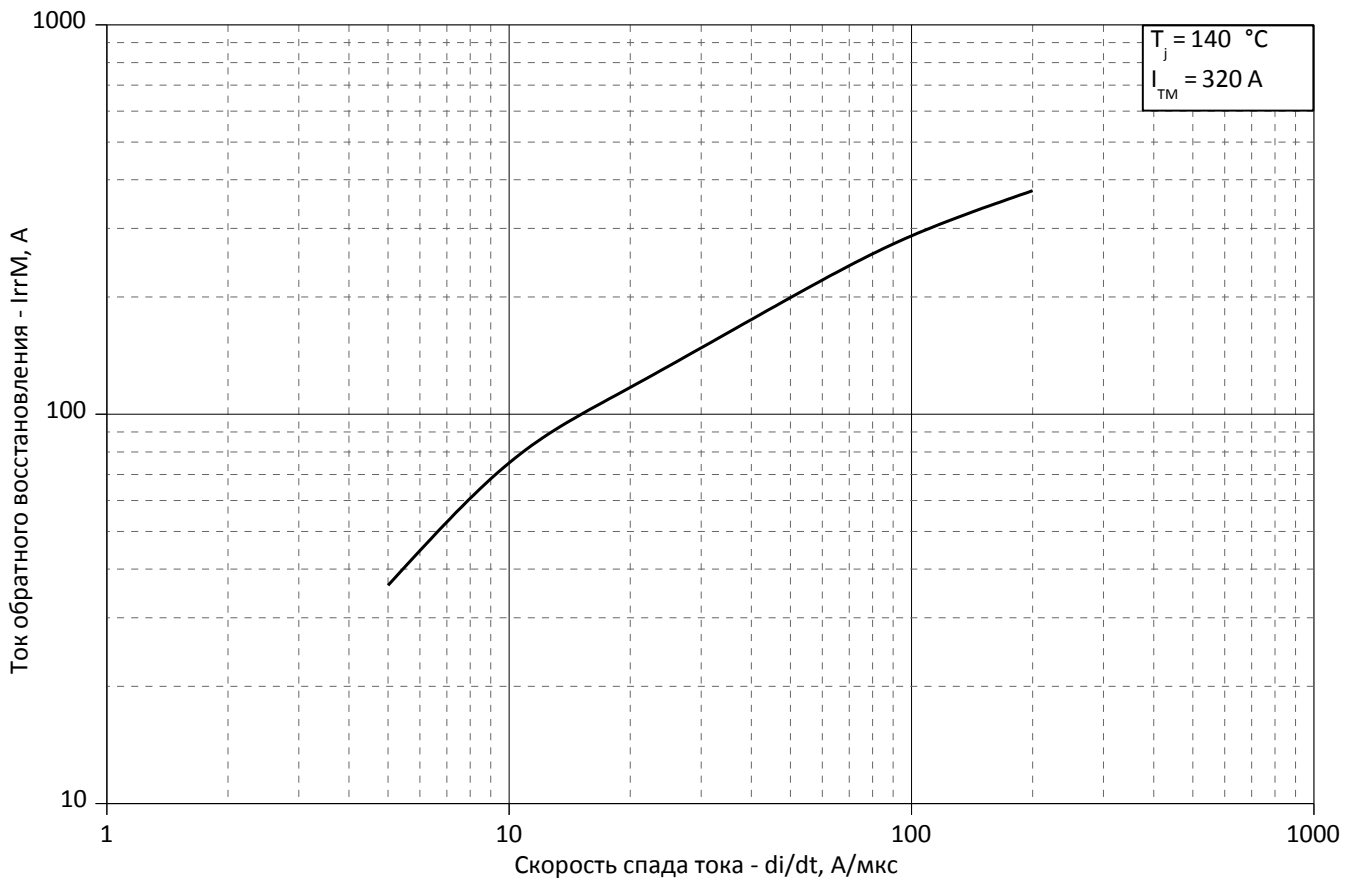


Рис. 5 – Зависимость максимального тока обратного восстановления I_{TRM} от скорости спада тока di_R/dt в открытом состоянии

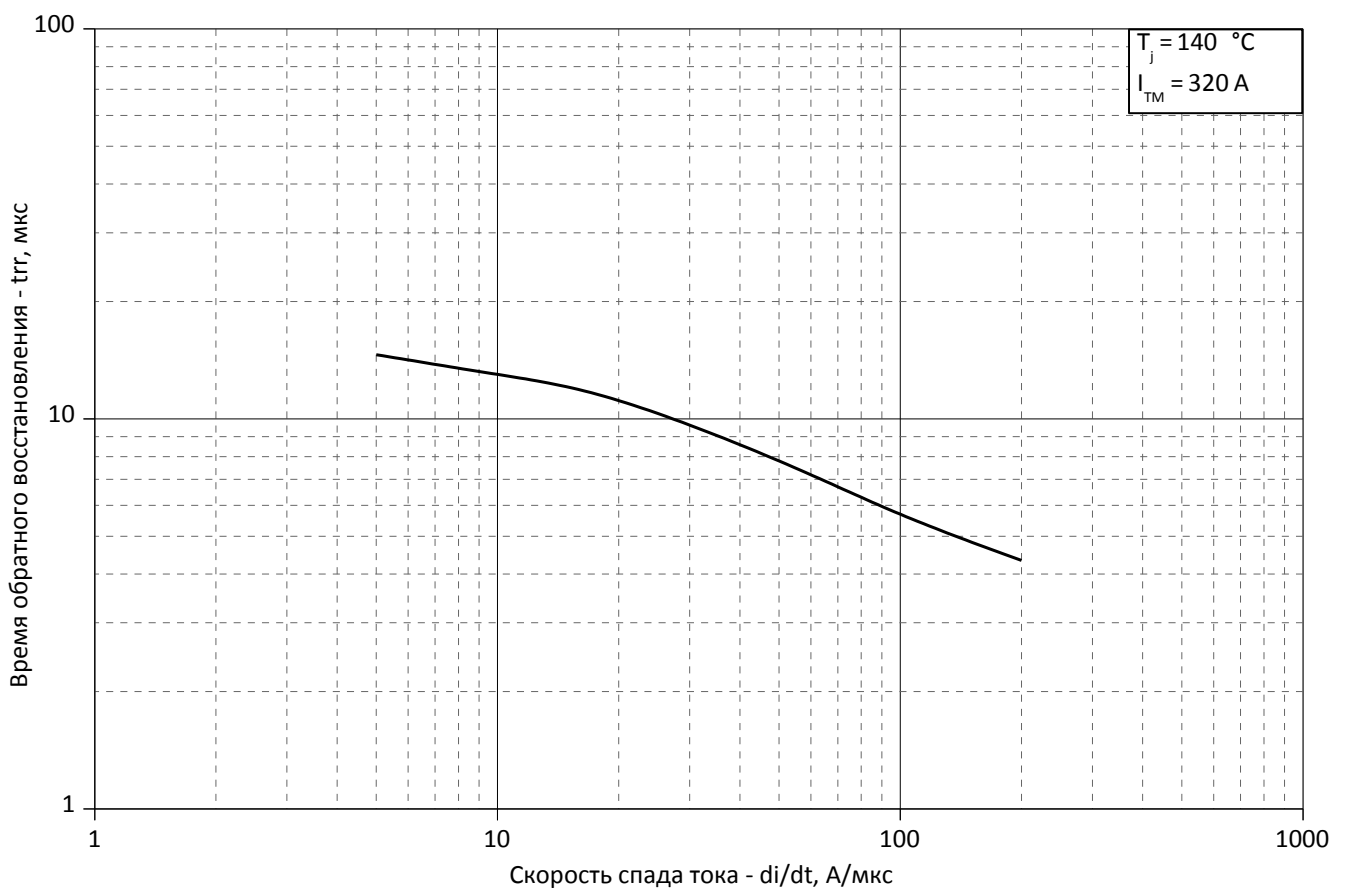


Рис. 6 - Зависимость максимального времени обратного восстановления t_{rr} от скорости спада тока di_R/dt (по ГОСТ 24461, хорда 25%) в открытом состоянии

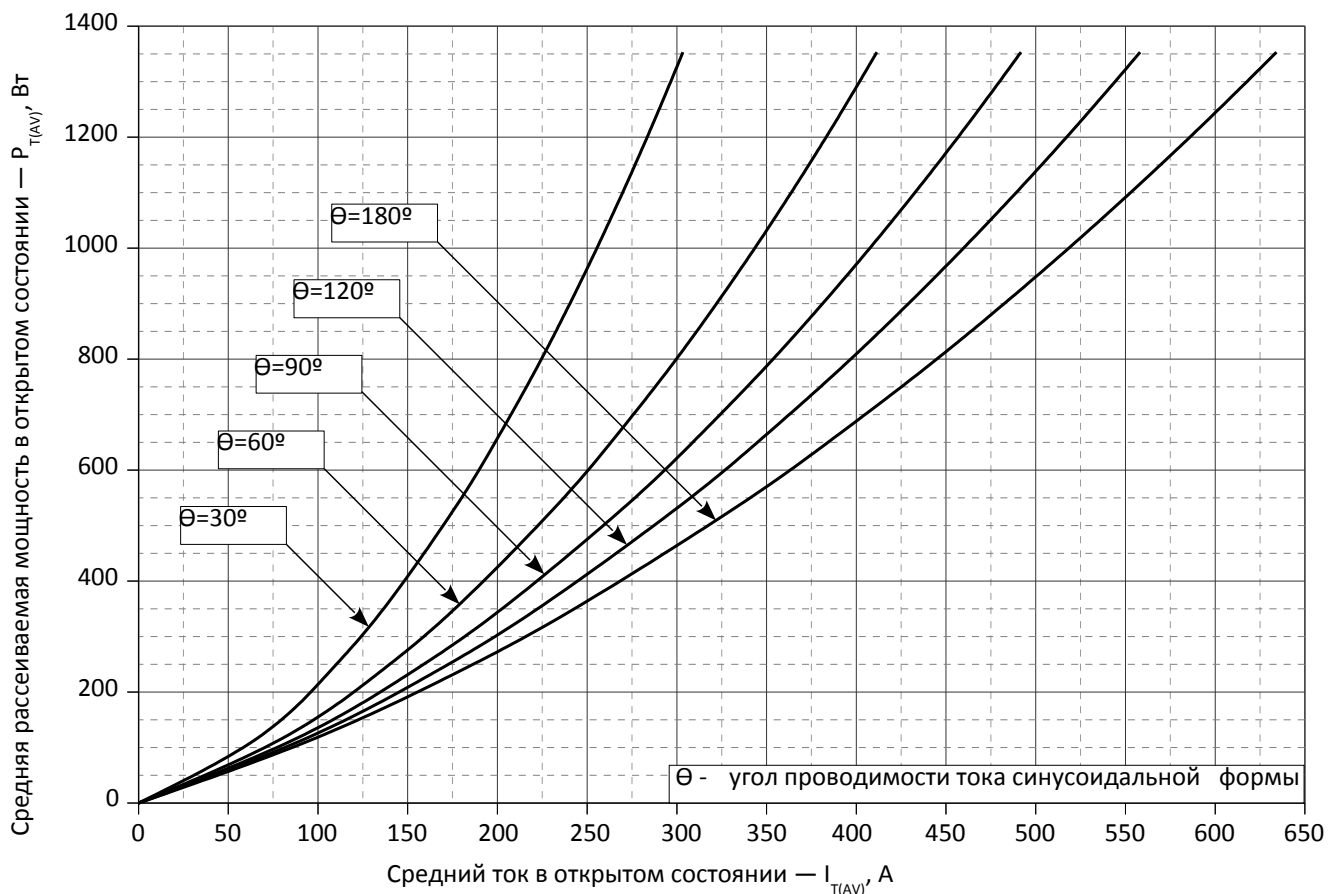


Рис. 7 - Зависимость потерь мощности P_{TAV} от среднего тока в открытом состоянии I_{TAV} синусоидальной формы при различных углах проводимости ($f=50$ Гц, двустороннее охлаждение)

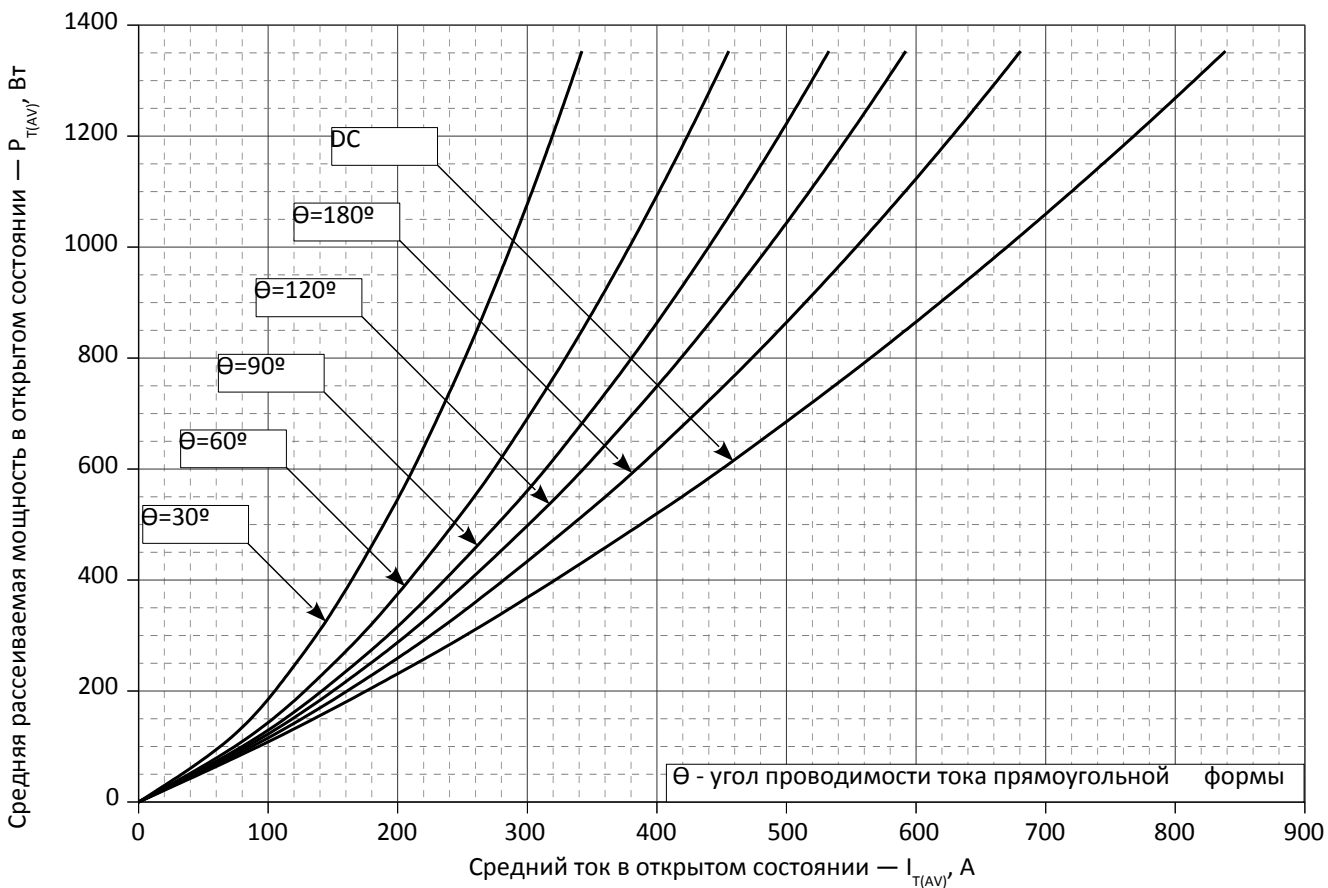


Рис. 8 - Зависимость потерь мощности P_{TAV} от среднего тока в открытом состоянии I_{TAV} прямоугольной формы при различных углах проводимости ($f=50$ Гц, двустороннее охлаждение)

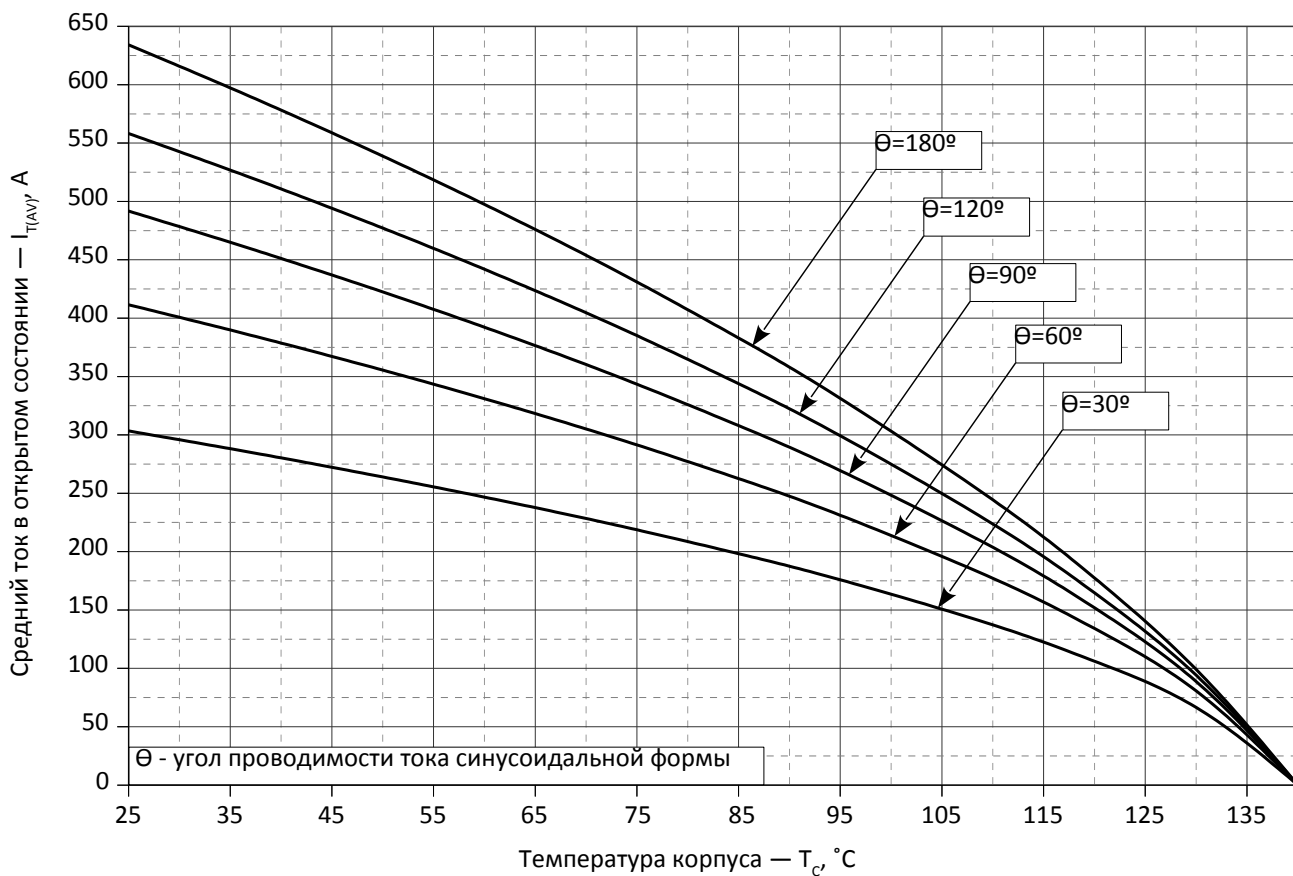


Рис. 9 – Зависимость среднего тока в открытом состоянии I_{TAV} от температуры корпуса T_c для синусоидальной формы тока при различных углах проводимости ($f=50$ Гц, Двустороннее охлаждение)

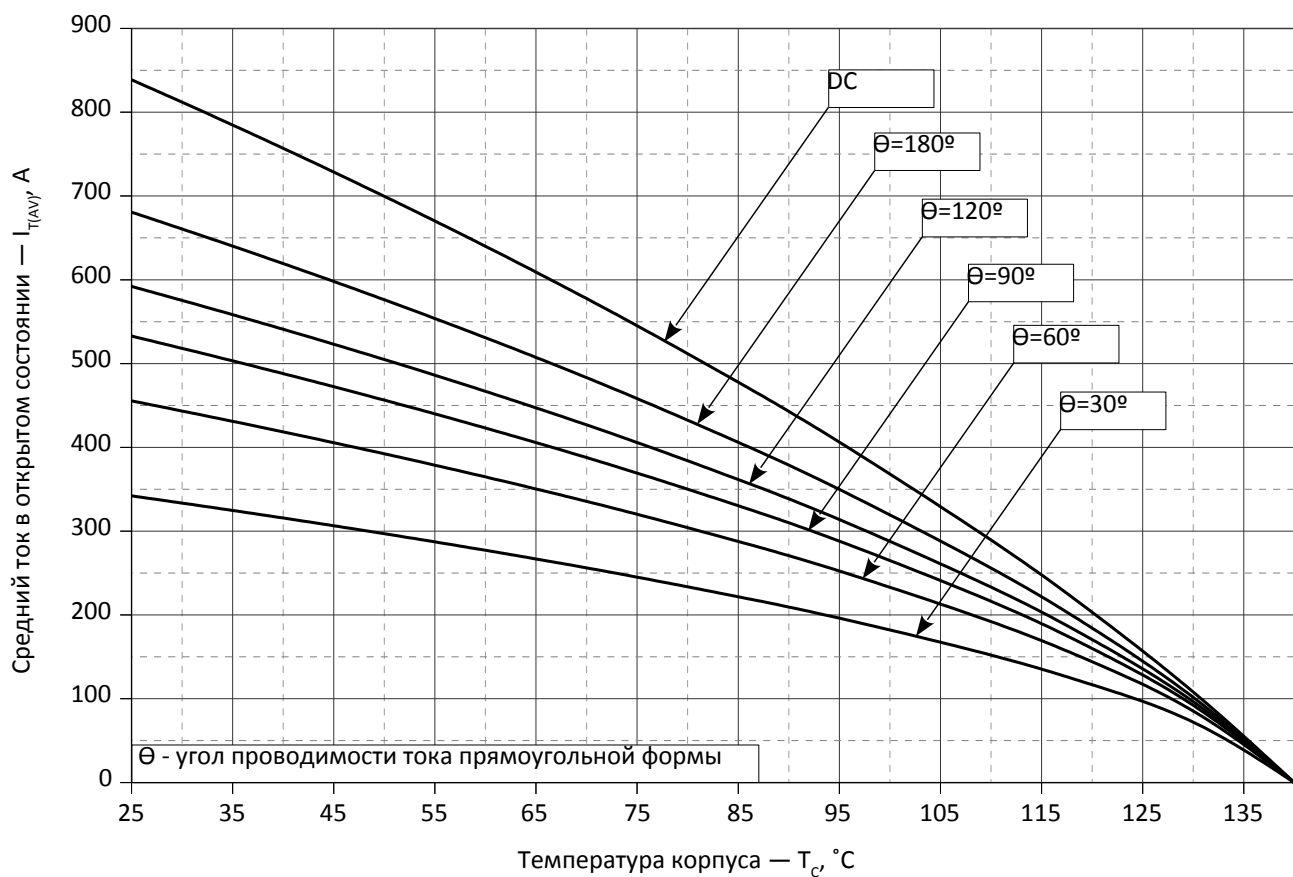


Рис. 10 - Зависимость среднего тока в открытом состоянии I_{TAV} от температуры корпуса T_c для прямоугольной формы тока при различных углах проводимости ($f=50$ Гц, Двустороннее охлаждение)

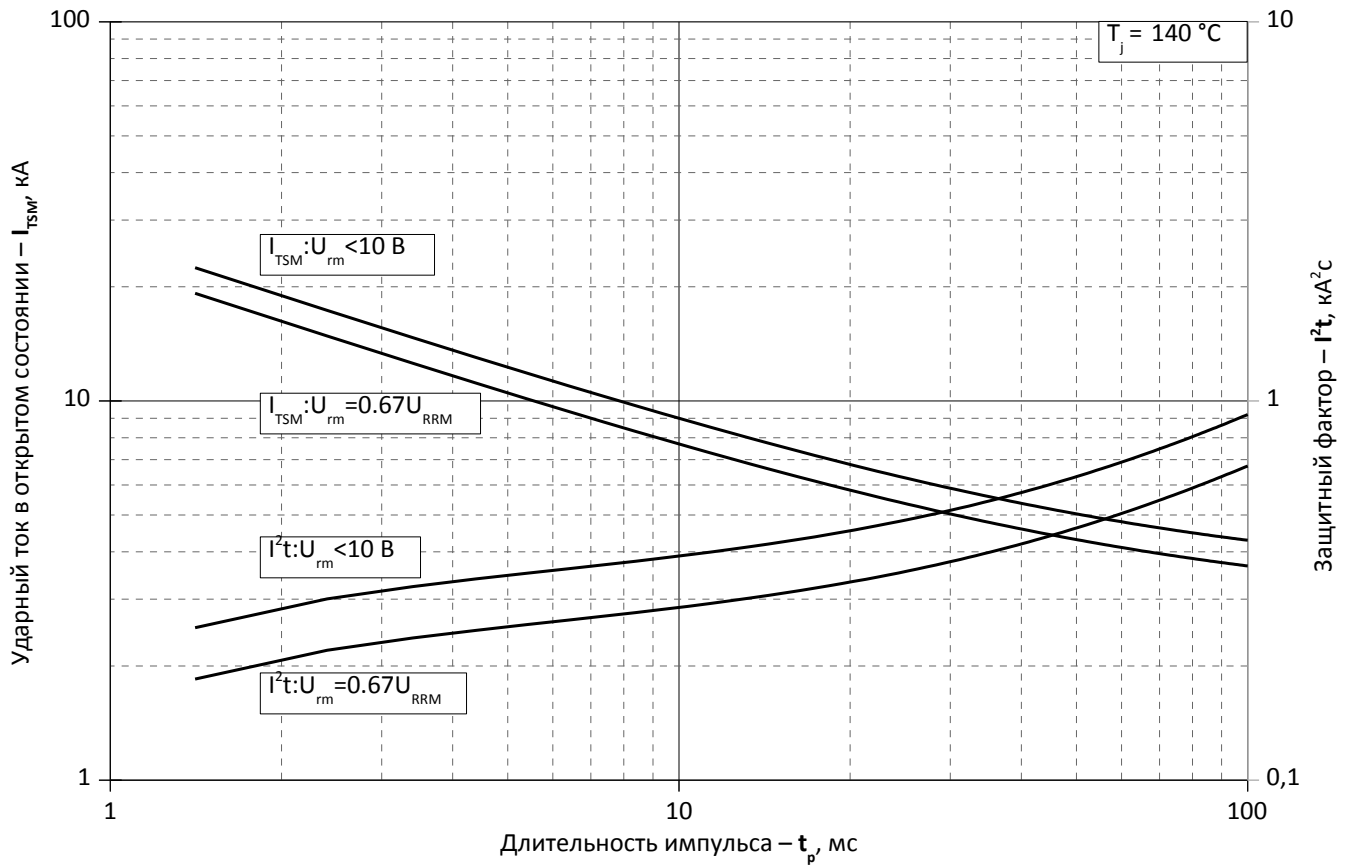


Рис. 11 – Зависимость максимальной амплитуды ударного тока в открытом состоянии I_{TSM} и защитного фактора I^2t от длительности импульса t_p

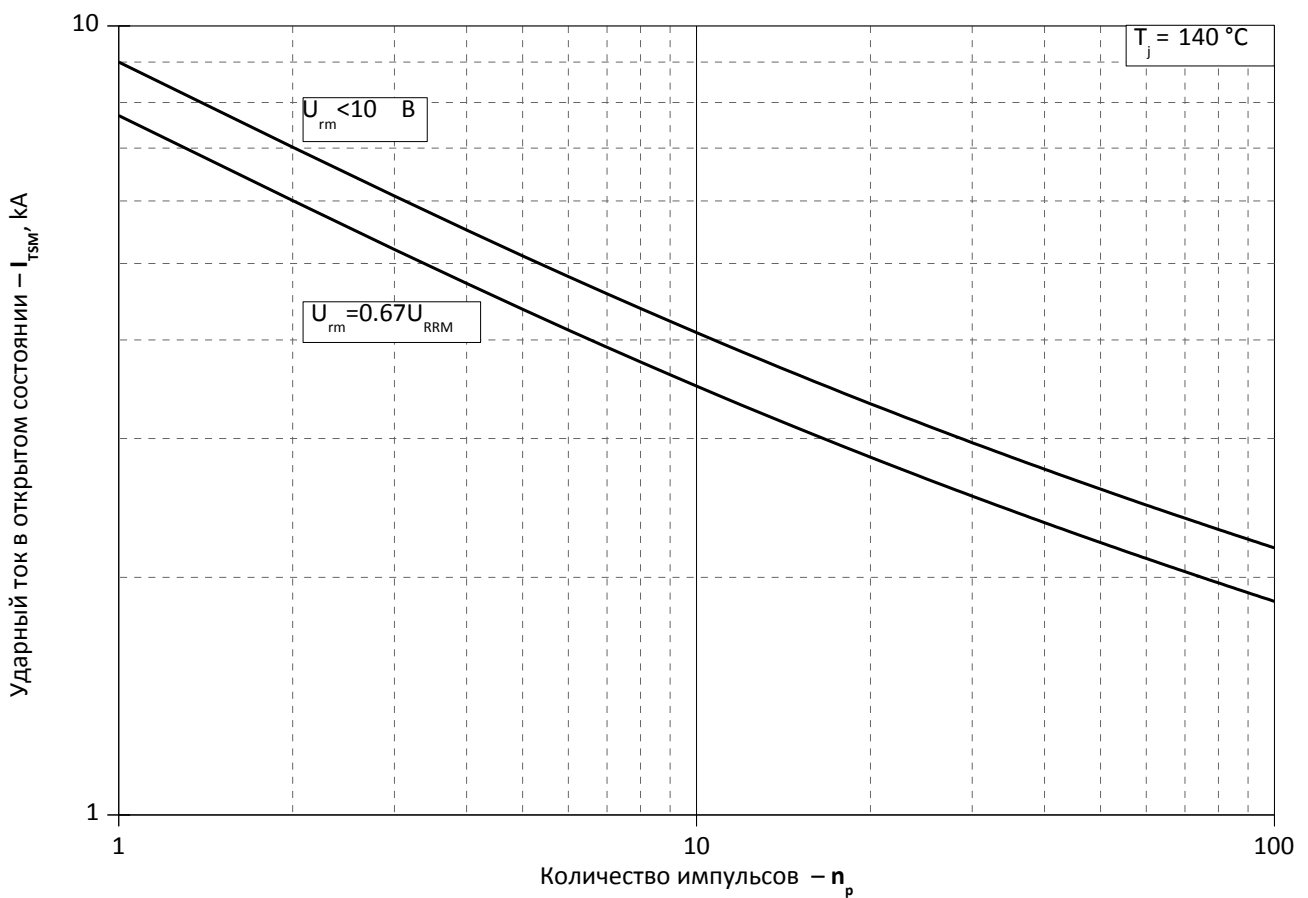


Рис. 12 – Зависимость максимальной амплитуды ударного тока в открытом состоянии I_{TSM} от количества импульсов n_p